

文章编号：1000-5013(2010)01-0041-08

# 高强度 PAM/PVA 互穿网络水凝胶的合成

林建明, 唐群委, 吴季怀

(华侨大学 材料物理化学研究所, 福建 泉州 362021)

**摘要：**以聚丙烯酰胺(PAM)为基体, 聚乙烯醇(PVA)为增强体, 采用两步水溶液聚合法合成具有较高机械强度的PAM/PVA互穿网络水凝胶。研究PVA、交联剂用量对PAM/PVA互穿网络水凝胶拉伸强度及伸长率的影响, 探讨水凝胶的应力松弛及析出PVA对水凝胶的增韧机理。实验表明, 制备的互穿网络水凝胶具有较高的机械强度和韧性, 最高拉伸强度为2.4 MPa, 伸长率为3 000%。最后, 采用傅里叶红外光谱(FTIR)、扫描电子显微镜(SEM)及X射线衍射(XRD), 对PAM/PVA互穿网络水凝胶的结构与形貌进行表征。

**关键词：**互穿网络水凝胶; 两步水溶液聚合; 聚丙烯酰胺; 聚乙烯醇; 凝胶强度

中图分类号：TB 332; TQ 316.32<sup>+5</sup>

文献标识码：A

水凝胶最重要的性能<sup>[1-4]</sup>包括理化性能与力学性能, 其理化性能主要指溶胀性、渗透性、脱水收缩性、光电性等<sup>[5-7]</sup>。聚丙烯酰胺(PAM)因具有典型的三维网络结构、无毒副作用、性能稳定等特点, 被广泛应用于生物水凝胶的制备<sup>[8-9]</sup>。然而, PAM系水凝胶的机械强度较低, 使得其在强度要求相对较高的领域, 如人工肌肉、记忆开关元件、机械传动装置及生物传感器等的应用受到很大的限制。水凝胶机械强度的提高可通过增加交联密度、降低凝胶溶胀度、引入纤维状增强剂, 以及制备互穿网络(IPN)等手段实现<sup>[10-12]</sup>。聚乙烯醇(PVA)具有与其他材料相容性好、机械强度高和可自交联形成三维网络等特点, 将PAM与PVA有机的结合在一起, 拓宽了水凝胶的应用范围, 明显改善了水凝胶的机械强度, 具有较为广阔的应用范围。本文采用两步水溶液聚合法合成聚丙烯酰胺/聚乙烯醇互穿网络(PAM/PVA IPN)水凝胶, 研究PVA与交联剂用量对水凝胶应力-应变的影响。

## 1 实验部分

### 1.1 材料与仪器

(1) 材料。丙烯酰胺(CP级, 中国医药集团上海化学试剂有限公司);聚乙烯醇(AR级, 广东汕头市西陇化工厂);过硫酸铵(AR级, 中国医药集团上海化学试剂公司);N,N'-亚甲基双丙烯酰胺(CP级, 湖南湘中精细化学品厂)。

(2) 仪器。HH-S型恒温水浴锅(江苏国胜实验仪器厂);DHG-9146A型电热恒温鼓风干燥箱(上海精密实验设备有限公司);PL 2002型电子天平(北京塞多利斯天平有限公司);MF 10 Basic型精细研磨机(德国IKA集团);Hitachi S-3500N型扫描电子显微镜(日本日立公司);NEXUS 470型傅里叶红外光谱仪(美国尼高力公司);D8 Advance型X射线衍射仪(德国BRUKER公司)。

### 1.2 PAM/PVA IPN复合材料的合成

称取一定量的丙烯酰胺(AM)单体置入烧杯中, 加入适量蒸馏水充分搅拌溶解, 配成质量分数为50%的丙烯酰胺单体溶液。称取一定量的PVA置入250 mL烧杯中, 加入适量蒸馏水, 于90℃充分搅拌溶解配成饱和溶液。将盛有丙烯酰胺溶液的烧杯置于80℃的恒温水浴锅中保温2 min, 加入一定量的交联剂N,N'-亚甲基双丙烯酰胺, 搅拌使其溶解, 并加入一定量引发剂过硫酸铵引发预聚合, 聚合过

收稿日期：2009-05-17

通信作者：吴季怀(1958-), 男, 教授, 博士生导师, 主要从事功能材料的研究。E-mail:jhwu@hqu.edu.cn.

基金项目：福建省科技计划重大专项(2004HZ01-3, 2007HZ0001-3); 福建省自然科学基金资助项目(2006J0439)

程中不断搅拌以使聚合均匀.

当丙烯酰胺(AM)预聚体达到一定粘度时,快速引入一定体积的90%的PVA饱和溶液,并加入与相同量的交联剂N,N'-亚甲基双丙烯酰胺,充分搅拌使交联剂完全溶解;然后,引入引发剂过硫酸铵.待反应液达到一定粘度时,迅速将其移至冷却的培养皿中缓慢聚合至完全,最终合成出均匀、无气泡、柔韧性良好的IPN半成品.具体制备过程:



采用两步水溶液聚合法制备PAM/PVA IPN水凝胶的示意图,如图1所示.

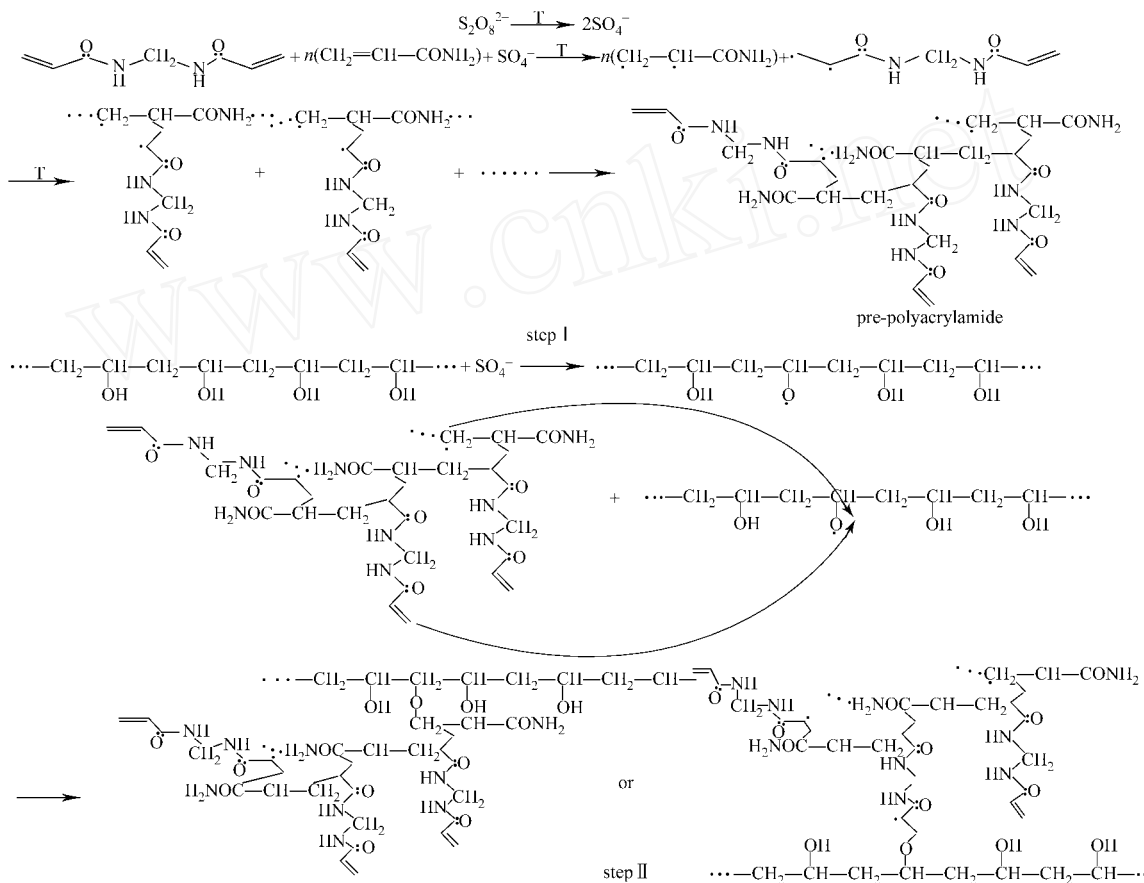


图1 两步水溶液聚合法制备PAM/PVA IPN水凝胶示意图

Fig. 1 The synthesis sketch of PAM/PVA IPN hydrogels by two-step method

### 1.3 PAM/PVA 共聚物的合成

称取一定量的丙烯酰胺(AM)单体置入250 mL烧杯中,加入适量蒸馏水充分搅拌溶解,配成质量分数为50%的丙烯酰胺单体溶液.备称取一定量的PVA与交联剂N,N'-亚甲基双丙烯酰胺,置入上述的丙烯酰胺(AM)单体溶液中,于90℃充分搅拌溶解配成均匀溶液.然后,将烧杯转移至80℃中并加入一定量引发剂过硫酸铵引发预聚合,聚合过程中不断搅拌,以使聚合均匀形成PAM/PVA共聚物;最后将产品干燥、粉碎用.

### 1.4 IPN水凝胶的制备及强度测试

将半成品制成一定尺寸的条状样品,烘干后使其吸水达到饱和形成水凝胶,以测定其机械强度.水凝胶的力学性能拉伸强度的测定,依据国家标准GB 1040-1992《塑料拉伸性能试验方法》,拉伸性能测试采用自制设备,如图2所示.

将PAM/PVA IPN凝胶制成一定规格的条形样品,用夹子将凝胶两端夹紧固定,保持拉伸部分原始长度为20 mm.在拉伸过程中,不断往凝胶样品下端的1 L容器中加水,并记录不同时刻加入容器中

水的质量,同时调节旋转台的高度,以保护凝胶断裂时容器不被破坏。拉伸强度<sup>[13]</sup>为

$$= m/A.$$

式中: $m$ 为容器及水的质量, $A$ 为凝胶断裂面横截面积。在一定载荷下,凝胶应变随时间的变化逐渐增大。凝胶应变用断裂伸长率表征<sup>[14]</sup>,其值的测定按照GB 1040-1992《塑料拉伸性能试验方法》,即

$$= [(L - L_0)/L_0] \times 100\%.$$

式中: $L$ 为凝胶断裂伸长率, $L$ 为断裂时凝胶长度, $L_0$ 为凝胶初始长度。

### 1.5 表征测试

将干燥的PAM/PVA IPN复合材料样品粉碎筛分后,采用KBr压片测定其红外光谱(FTIR)。将溶胀饱和的凝胶在液氮气氛下冷冻与冻干,采用扫描电子显微镜(SEM)对其表面形貌进行表征。采用德国BRUKER公司X射线衍射仪(XRD)进行分析,铜靶,工作电压为40 kV,工作电流为40 mA,扫描速度为5( $\circ$ ·min<sup>-1</sup>),扫描范围为5~58( $\circ$ )。

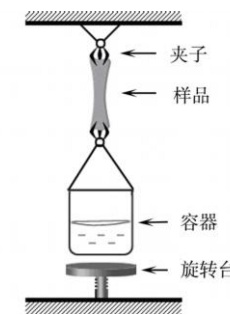


图2 拉伸强度测试示意图

Fig. 2 Schematic diagram of tensile strength test

## 2 结果与讨论

### 2.1 PVA用量对水凝胶机械强度的影响

PVA是一种具有水溶性的高分子聚合物。PVA 124是粉末状固体,具有抗拉强度和成膜性良好,耐冲击、耐磨,绝缘性较好,已被广泛用于提高水凝胶的机械强度<sup>[15-17]</sup>。在形成凝胶的过程中,PVA链间羟侧基间形成的氢键缔合可形成缠结结构,其作用类似于交联网络结构中的交联点。PVA自交联后形成的三维网络结构,对水凝胶机械强度的提高具有决定性作用<sup>[18]</sup>。

在引发剂的作用下,可使得羟基中的氢原子电离,产生大量使PVA自交联的交联点。通过核磁共振(NMR)实验可以发现,过硫酸盐引发剂(过硫酸铵等)中的过硫酸根自由基很容易激发PVA分子中的氢原子<sup>[19-20]</sup>。在合成PAM/PVA IPN复合材料时,PVA链与已发生预聚合的PAM发生部分共聚反应,而其他PVA分子则发生自交联形成三维网络,从而合成PAM/PVA IPN复合材料。

考察PVA用量对交联前、后水凝胶应力-应变(-)的影响,如图3所示。图3中:曲线1~4的PVA质量分别为AM质量的8%,16%,24%,32%;图3(b)的交联剂质量为丙烯酰胺单体质量的0.03%。

与图3(b)相比,相同条件下,未加入交联剂N,N'-亚甲基双丙烯酰胺的水凝胶的机械强度,明显低于交联PAM/PVA水凝胶。未交联凝胶中,PAM并未形成交联网络,它和自交联的PVA不能形成有效的互穿网络,导致其机械强度比交联的PAM/PVA IPN水凝胶明显偏低。由图3(b)可以看出,随着PVA用量的增多,交联后水凝胶的断裂拉伸强度逐渐增强。

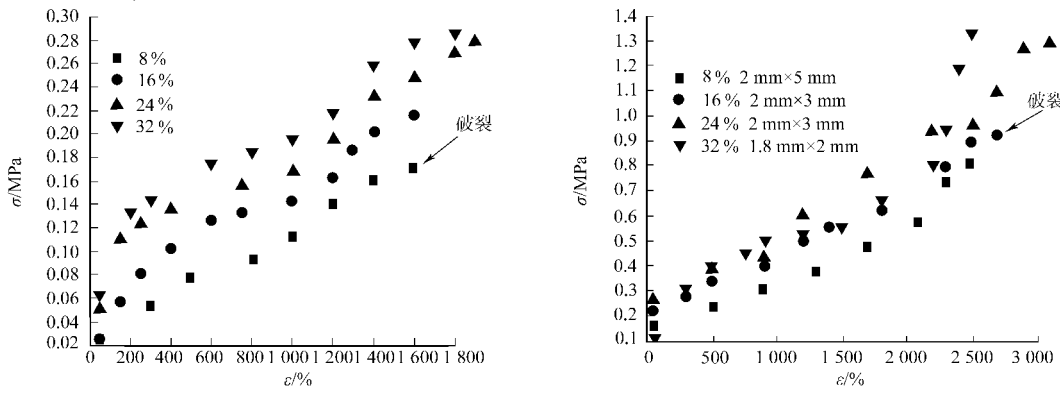


图3 PVA用量对PAM/PVA IPN水凝胶的应力-应变的影响

Fig. 3 Influences of PVA contents on stress-strain of PAM/PVA IPN hydrogel

众所周知,凝胶的机械强度主要取决于PAM的交联、PVA的自交联,以及PAM与PVA网络的相互缠绕。Tsukeshiba等<sup>[21]</sup>分别以PAMPS和PAM作为第1组分和第2组分的一种双重网络水凝胶,研

究各种组分对复合材料性能的影响。实验结果表明,首先形成的网络(PAMPS)的孔洞尺寸比第2种聚合物(PAM)的分子链直径大很多,而且第2种组分对其凝胶强度的影响尤其重要<sup>[22]</sup>。同样,在文中的实验中,以PAM作为第1组分,形成的网络具有大量的孔洞,并且孔洞的尺寸比第2组分PVA分子链直径大很多,所以,PVA分子可以穿入PAM的网络中,从而形成相互贯穿的网络。

如上所述,PVA分子中大量的氢键自由基促使PVA自交联,在相同单位体积PAM网络中,氢键越多,PVA网络之间连接越牢固,凝胶的机械强度就越高。此外,应力和应变之间存在滞后现象,说明凝胶拉伸过程中发生了明显的塑性变形<sup>[23-24]</sup>。

## 2.2 交联剂用量对水凝胶机械强度的影响

聚合物水凝胶可以分为两类:化学交联水凝胶和物理交联水凝胶。化学交联水凝胶聚合物网络之间通过共价键相互连接,而物理交联水凝胶网络中不存在化学键的相互作用<sup>[25]</sup>。

交联剂用量对凝胶应力-应变(-)曲线的影响,如图4所示。从图4可以看出,凝胶断裂时的机械强度随着交联剂用量的增加而增大,且交联剂越多,凝胶的韧性越好。凝胶的机械强度很大程度上取决于PAM的交联度,而交联度随交联剂的增多而增大。这主要是因为随着交联剂用量的增加,更多的-C=C-被引发,从而产生更多的自由电子和交联点,各交联点间距离变小。所以,PAM网络空间变小<sup>[26-27]</sup>,单位体积的PAM网络增加,PAM/PVA IPN水凝胶的机械强度也随之升高。

## 2.3 应力松弛

在200 g载荷作用,不同PVA用量和交联剂添加量的PAM/PVA IPN水凝胶,其应变随时间的变化如图5所示。图5中:图5(a)的交联剂用量为单体质量的0.03%,图5(b)的PVA用量为丙烯酰胺质量的32%。

从图5(a)可以看出,在对凝胶拉伸的前期(约30 s),凝胶伸长率变化较快,为原始长度的2~3倍;约90 s后,凝胶应力松弛达到平衡,伸长率变化不大。在相同时间内,随着PVA用量的增多,互穿网络水凝胶的伸长率也随之增大,PVA用量为32%的水凝胶伸长率最大。

聚合物的韧性决定于分子运动及分子链之间的相互作用,如物理缠绕、静电力、亲水,以及疏水作用、化学交联等<sup>[28-31]</sup>。PVA分子链与PAM网络之间的相互作用,主要为物理缠绕和氢键作用。此外,在合成PAM/PVA IPN水凝胶时,由于采用90饱和PVA溶液,有部分“雪花”状PVA结晶析出,并且析出的PVA与PAM基体间依靠大量的氢键作用结合。当PVA用量增大时,析出的PVA也随之增多,当载荷作用时间足够长而使得凝胶出现裂纹时,裂纹进一步扩展所需的应力也不断增大,克服析出PVA与PAM间的解离功也逐渐升高,故水凝胶韧性增强。

从图5(b)可以看出,在相同条件下,交联剂用量越多,凝胶的伸长率越小。如上所述,凝胶的应力松弛主要取决于分子链之间的相互缠绕与氢键作用,所以PVA链与PAM网络之间的物理缠绕能够提高聚合物的柔韧性和应力松弛,而化学交联主要影响凝胶的刚性。当加入较多的交联剂时,分子链之间化学交联的成分比较多,交联点之间分子链变短,C-C键的旋转受到限制,分子链的柔韧性降低,从而导致凝胶的应力松弛降低。另外,交联剂较多时,水凝胶空间网络比较致密,单位体积内交联网络增大,相对分子质量较大,也会降低凝胶的应力松弛。

## 2.4 红外光谱分析

为了研究PAM与PVA间的相互作用机理,比较PAM/PVA的共聚物、共混物和IPN复合材料的红外谱图(FTIR),如图6所示。从图6可以发现,PVA中3350 cm<sup>-1</sup>为O-H及其氢键产生的强而宽的吸收峰,高于3350 cm<sup>-1</sup>的自由O-H吸收峰;1420 cm<sup>-1</sup>由O-H,C-H及-CH<sub>2</sub>-弯曲振动引起,1096 cm<sup>-1</sup>为C-O(多缔合体)单键伸缩和O-H弯曲振动吸收峰<sup>[32]</sup>,849 cm<sup>-1</sup>是与全同立构序列

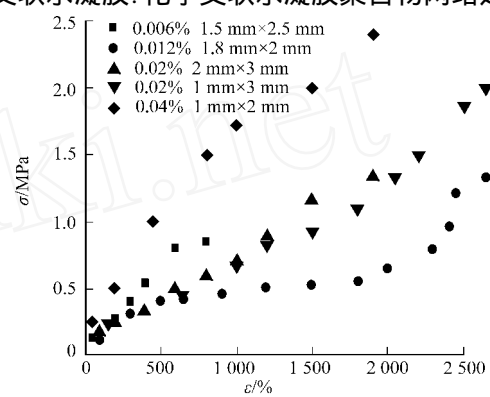


图4 交联剂用量对PAM/PVA IPN水凝胶的应力-应变的影响

Fig. 4 Influences of crosslinker contents on stress-strain of PAM/PVA IPN hydrogel

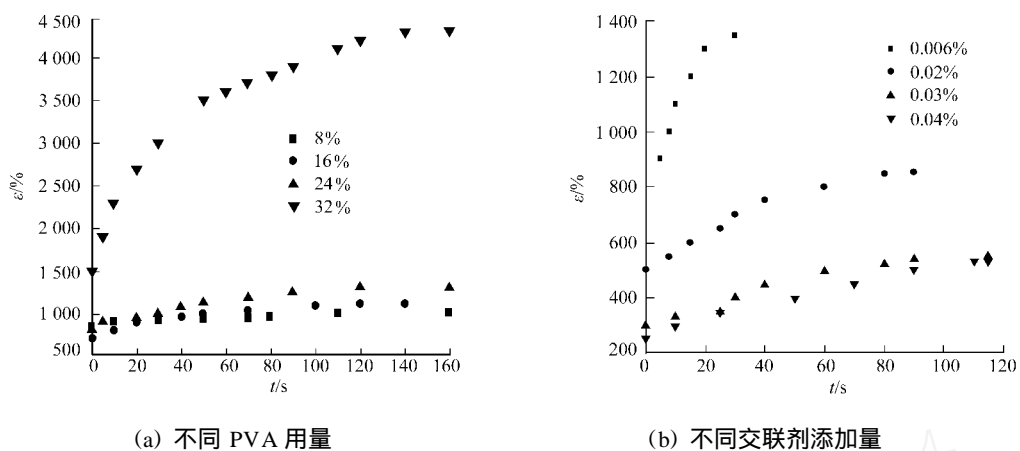


图5 PAM/PVA IPN 水凝胶的应力松弛曲线

Fig. 5 Strain relaxation of PAM/PVA IPN hydrogel

有关的特征峰,1 137 cm<sup>-1</sup>处有同结晶有关的C-C-C键的伸缩振动吸收峰<sup>[33]</sup>.

在互穿及共聚物中,O-H的伸缩振动吸收峰由于氢键的作用均移向低频区;1 420 cm<sup>-1</sup>峰位在IPN及共聚物中衍生出1 451,1 415 cm<sup>-1</sup>两个弱峰;1 096 cm<sup>-1</sup>处峰位向低频移动(1 122 cm<sup>-1</sup>),且强度减弱.这是由于在制备IPN及共聚物时,PVA中-OH产生自由基与AM单体发生接枝共聚引起.

此外,反映PVA全同立构序列的特征峰在IPN及共聚物中消失,说明PVA在IPN中成无序态,即与PAM网络相互纠缠且发生部分共聚.在IPN及共聚物1 179 cm<sup>-1</sup>处出现C-O-C的伸缩振动吸收峰,说明PVA在引发剂作用下发生自交联<sup>[23-34]</sup>.

## 2.5 扫描电子显微镜分析

PVA具有机械强度高、成膜性及相容性好等优点,PVA系水凝胶的化学性质稳定、材料韧性大、结构均匀.PAM/PVA的共聚物、IPN复合材料的扫描电子显微镜图(SEM),如图7所示.

从图7(a)可看出,PAM/PVA共聚物断面光滑均匀,无团聚与相分离,说明丙烯酰胺单体与PVA在引发剂作用下聚合均匀.从图7(b)可看出,在PAM/PVA IPN体系中,光滑区域为PAM/PVA共聚和PAM/PVA互穿区;在凝胶表面有一定程度的相分离,PVA呈“雪花”状(图7c).

在合成PAM/PVA IPN水凝胶时,首先将PVA放在90℃的水浴中加热溶解,形成均匀的PVA

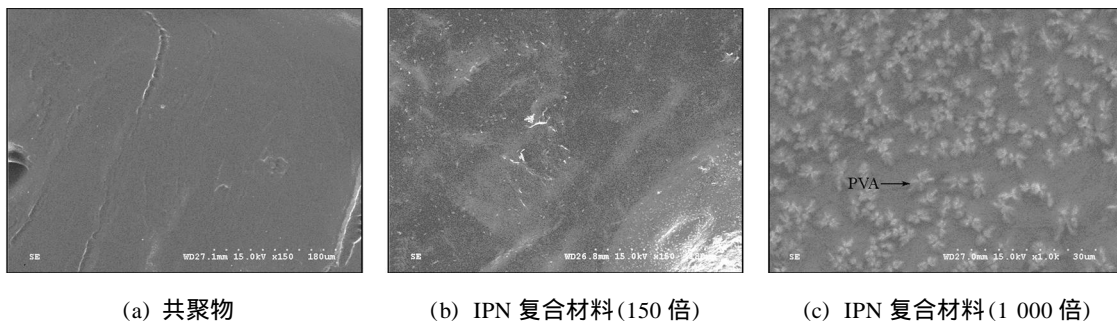


图7 PAM/PVA的扫描电子显微镜图

Fig. 7 SEM morphologies of PAM/PVA

饱和溶液.当温度降低至80℃时,制备PAM/PVA IPN复合材料,此时,部分PVA必然会随着溶解度的降低而析出、结晶.由于在第3步中所合成出的PAM为预聚合态,加入第2组分后,在交联剂、引发剂的作用下仍继续聚合,PVA饱和溶液中的部分溶剂参与了预聚合PAM的再次聚合反应,也会导致部分PVA析出.析出部分均匀分散在PAM/PVA互穿体系中.虽然有部分PVA析出,但从图7(b)可以看出,绝大多数PVA参与了PAM/PVA复合材料的互穿与聚合.

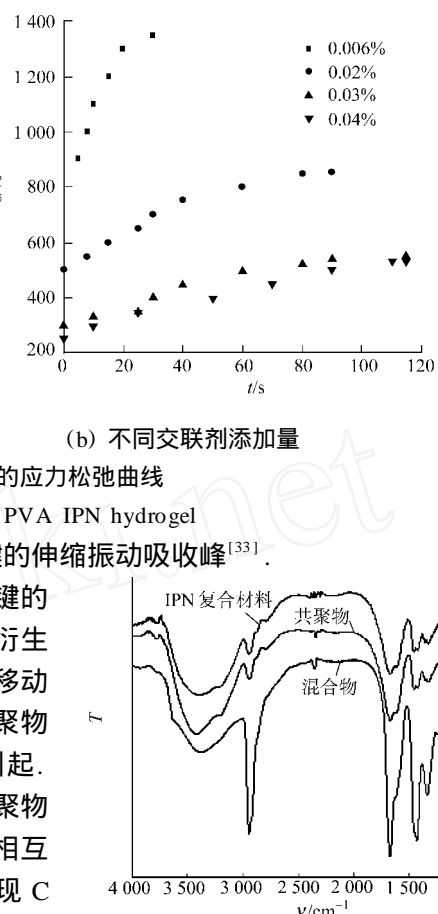


图6 PAM/PVA的红外光谱图

Fig. 6 FTIR spectra of PAM/PVA

析出的 PVA 并非以结块形式存在 PVA 中含有大量的极性基团(-OH),故其具有一定的亲水性.此外,PAM 中的酰胺基团(-CONH<sub>2</sub>)与析出的 PVA 存在较强的氢键作用,因而,PAM/PVA IPN 复合材料吸水饱和后,所形成的凝胶质地松软、有韧性.

PAM/PVA IPN 水凝胶具有较高的凝胶强度与韧性除与上述有关外,所析出的“雪花”状 PVA 在一定程度上还起到增韧的作用.现对其增韧机理进行探讨.

如图 7(c) 所示,析出的“雪花”状 PVA 在二维方向随机扩展.当 PAM/PVA IPN 水凝胶被拉伸出现裂纹时,裂纹垂直方向扩展遇到 PVA 时,裂纹受阻.欲使裂纹进一步扩展,需提高外加应力.随着外加应力的增加,由于凝胶基体与“雪花”状 PVA 界面解离,且 PVA 的强度高于基体的强度,开始时固定“雪花”状 PVA 的氢键遭到破坏,导致其析出的 PVA 从凝胶基体中分离.当分离量达到某一临界值时,凝胶发生断裂.因此,裂纹扩展必须克服由于析出的 PVA 的加入而产生的解离功.

实际上,在凝胶断裂过程中,析出的 PVA 从凝胶基体中分离、破坏氢键作用并非在同一裂纹平面.主裂纹沿“雪花”状 PVA 断裂的不同发生裂纹转向,导致其扩展路径增加而使裂纹表面积增加,进而使其扩展阻力大大增加,从而提高了 PAM/PVA IPN 水凝胶的韧性.因此,PAM/PVA IPN 水凝胶的韧性来自于“雪花”状 PVA 的解离和裂纹转向两个方面,可通过改变 PVA 用量,提高基体凝胶强度和析出 PVA 的量来改变凝胶的拉伸强度.需要指出的是,析出 PVA 对水凝胶的增韧机理,与短纤维对陶瓷基复合材料的增韧机理类似<sup>[35-37]</sup>.

## 2.6 X射线衍射分析

PAM/PAM IPN 复合材料的 XRD 图谱,如图 8 所示.从图 8 可看出,PVA 在  $2\theta = 11.5, 19.5, 40.7 (\text{)}^\circ$  处出现较强的衍射峰,其晶胞参数为  $a = 0.78 \text{ nm}, b = 0.25 \text{ nm}, c = 0.51 \text{ nm}$ ,  $\alpha = 90 (\text{)}^\circ, \beta = 97.1 (\text{)}^\circ$ , 属于单斜晶系<sup>[37]</sup>. 其中: $2\theta = 19.5 (\text{)}^\circ$  由 PVA 晶体结构中(101)和(200)晶面引起的<sup>[38-39]</sup>. PVA 是一种含有大量羟基的聚合物,其侧基羟基的体积较小,可进入结晶点中而不造成应力集中,因而具有高度结晶性.

从图 8 还可以看出,在 PAM/PVA IPN 及 PAM/PVA 共聚物中,PVA 由晶体变为无定形结构.这主要是因为在制备样品时需在 90℃ 加热溶解 PVA,导致部分 PVA 晶体结构遭到破坏.此外,在引发剂过硫酸铵的作用下,PVA 侧基上的羟基与丙烯酰胺单体发生部分接枝共聚,在氢键的协同作用下形成自交联网络,破坏了 PVA 的线性规整结构,使其结晶性和结晶度下降.这与 FTIR 光谱分析中反映 PVA 全同立构序列特征峰  $849 \text{ cm}^{-1}$  的消失一致.

## 3 结束语

采用两步水溶液聚合法合成 PAM/PVA IPN 水凝胶,研究 PVA 及交联剂用量对凝胶强度和拉伸率的影响.实验结果表明,PAM/PVA IPN 水凝胶最高拉伸强度为 2.4 MPa,伸长率为 3 000 %. FTIR 与 XRD 的分析表明,PAM/PVA IPN 复合材料具有共聚和共混两种结构,且 PVA 晶型发生转变;SEM 形貌分析表明,有部分“雪花”状 PVA 析出,对 PAM/PVA IPN 水凝胶起到一定的增韧作用.

## 参考文献:

- [1] SAHINER N. Hydrogel nanonetworks with functional core-shell structure[J]. European Polymer Journal, 2007, 43(5): 1709-1717.
- [2] MEI F, PILASZKIEWICZ A, SWIESZKOWSKI W, et al. Morphology assessment of chemically modified cryostructured poly(vinyl alcohol) hydrogel[J]. European Polymer Journal, 2007, 43(5): 2035-2040.
- [3] SAHINER N, ALB A M, GRAVES R, et al. Core-shell nanohydrogel structures as tunable delivery systems[J]. Polymer, 2007, 48(3): 704-711.

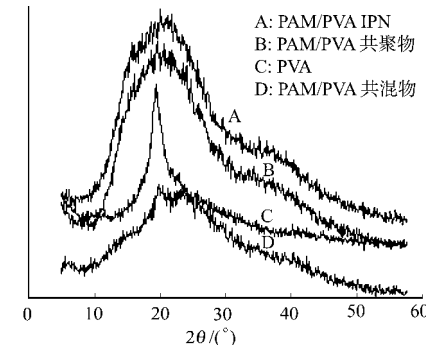


图 8 PAM/PAM IPN 水凝胶的 X 射线衍射图

Fig. 8 XRD patterns of PAM/PVA IPN hydrogel

- [4] LIN Y W , CHEN Q ,LUO H B. Preparation and characterization of N-(2-carboxybenzyl) chitosan as a potential pH-sensitive hydrogel for drug delivery[J ]. Carbohydrate Research ,2007 ,342(1) :87-95.
- [5] ZHAO Ying JUAN Kang ,TAN Tian-wei. Salt- ,pH- and temperature-responsive semi-interpenetrating polymer network hydrogel based on poly (aspartic acid) and poly (acrylic acid) [J ]. Polymer ,2006 ,47(22) :7702-7710.
- [6] HORKA Y F,HAN M H ,HAN I S ,et al. Separation of the effects of pH and polymer concentration on the swelling pressure and elastic modulus of a pH-responsive hydrogel[J ]. Polymer ,2006 ,47(21) :7335-7338.
- [7] TANG Qun-wei ,LIN Jian-ming ,WU Ji-huai ,et al. Two-steps synthesis of a poly (acrylate-aniline) conducting hydrogel with an interpenetrated networks structure[J ]. Carbohydrate Polymers ,2007 ,67(3) :332-336.
- [8] HRON P ,SLECHTOV ,SMETANA K ,et al. Silicone rubber-hydrogel composites as polymeric biomaterials ( ) : Composites containing powdery polyacrylamide hydrogel[J ]. Biomaterials ,1997 ,18(15) :1069-1073.
- [9] LABARRE D ,LAURENT A ,LAUTIER A ,et al. Complement activation by substituted polyacrylamide hydrogels for embolisation and implantation[J ]. Biomaterials ,2002 ,23(11) :2319-2327.
- [10] LIN Zhi-hui ,WU Wen-hui ,WANG Jian-quan ,et al. Studies on swelling behaviors ,mechanical properties ,network parameters and thermodynamic interaction of water sorption of 2-hydroxyethyl methacrylate/ novolac epoxy vinyl ester resin copolymeric hydrogels[J ]. Reactive and Functional Polymers ,2007 ,67(9) :789-797.
- [11] XIANG Y Q ,PENG Z Q ,CHEN D J . A new polymer/clay nano-composite hydrogel with improved response rate and tensile mechanical properties[J ]. European Polymer Journal ,2006 ,42(9) :2125-2132.
- [12] LOPES C M A ,FELISBERTI M I . Mechanical behaviour and biocompatibility of poly (1-vinyl-2-pyrrolidinone)-gelatin IPN hydrogels[J ]. Biomaterials ,2003 ,24(7) :1279-1284.
- [13] CHA K RABORTI P C ,MITRA M K . Microstructure and tensile properties of high strength duplex ferrite-martensite (DFM) steels[J ]. Materials Science and Engineering (A) ,2007 ,466(1/2) :123-133.
- [14] ALCOCK B ,CABRERA N O ,BAR KOULA N M ,et al. The effect of temperature and strain rate on the mechanical properties of highly oriented polypropylene tapes and all-polypropylene composites [J ]. Composites Science and Technology ,2007 ,67(10) :2061-2070.
- [15] RODRIGUES I R ,FORTE M M C ,AZAMBUJA D S ,et al. Synthesis and characterization of hybrid polymeric networks (HPN) based on polyvinyl alcohol/chitosan[J ]. Reactive and Functional Polymers ,2007 ,67(8) :708-715.
- [16] TANG Yu-feng ,DU Yu-min ,HU Xian-wen ,et al. Rheological characterisation of a novel thermo-sensitive chitosan/poly (vinyl alcohol) blend hydrogel[J ]. Carbohydrate Polymers ,2007 ,67(4) :491-499.
- [17] XIAO Cong-ming ,YANG Mei-ling. Controlled preparation of physical cross-linked starch-g-PVA hydrogel[J ]. Carbohydrate Polymers ,2006 ,64(1) :37-40.
- [18] KJONIKSEN A L ,NYSTROM B. Effects of polymer concentration and cross-linking density on rheology of chemically cross-linked poly (vinyl alcohol) near the gelation threshold[J ]. Macromolecules ,1996 ,29(15) :5215-5222.
- [19] KIM N ,SUDOL E D ,DIMONIE V L ,et al. Comparison of conventional and miniemulsion copolymerizations of α-acrylic monomers using poly (vinyl alcohol) as the sole stabilizer[J ]. Macromolecules ,2004 ,37(7) :2427-2433.
- [20] KIM N ,SUDOL E D ,DIMONIE V L ,et al. Poly (vinyl alcohol) stabilization of acrylic emulsion polymers using the miniemulsion approach[J ]. Macromolecules ,2003 ,36(15) :5573-5579.
- [21] TSUKE SHIBA H ,HUANG M ,NA Y H ,et al. Effect of polymer entanglement on the toughening of double network hydrogels[J ]. Journal of Physical Chemistry (B) ,2005 ,109(34) :16304-16309.
- [22] NA Y H ,KUROKAWA T ,KA TSU YAMA Y ,et al. Structure characteristics of double network gels with extremely high mechanical strength[J ]. Macromolecules ,2004 ,37(14) :5370-5374.
- [23] MCDERMOTT M K ,CHEN T H ,WILLIAMS C M ,et al. Mechanical properties of biomimetic tissue adhesive based on the microbial transglutaminase-catalyzed crosslinking of gelatin[J ]. Biomacromolecules ,2004 ,5(4) :1270-1279.
- [24] ZHAO San-ping ,ZHANG Li-ming ,MA Dong ,et al. Fabrication of novel supramolecular hydrogels with high mechanical strength and adjustable thermosensitivity[J ]. Journal of Physical Chemistry (B) ,2006 ,110(33) :16503-16507.
- [25] HARA GUCHI K ,FARNWORTH R ,OHBA YASHI A ,et al. Compositional effects on mechanical properties of nanocomposite hydrogels composed of poly(N,N-dimethylacrylamide) and clay[J ]. Macromolecules ,2003 ,36(15) :5732-5741.

- [26] GUNDOGAN N ,MELEKASLAN D ,OKA Y O. Rubber elasticity of poly (N-isopropylacrylamide) gels at various charge densities[J]. *Macromolecules*, 2002, 35(14): 5616-5622.
- [27] WU Ji-huai ,WEI Yue-ling ,LIN Jian-ming ,et al. Study on starch-graft-acrylamide/mineral powder superabsorbent composite[J]. *Polymer*, 2003, 44(21): 6513-6520.
- [28] JIA Xin-qiao ,BURDICK J A ,KOBLER J ,et al. Synthesis and characterization of in situ cross-linkable hyaluronic acid-based hydrogels with potential application for vocal fold regeneration[J]. *Macromolecules*, 2004, 37(9): 3239-3248.
- [29] FERRY J D. Viscoelastic properties of polymers[M]. 3nd ed. New York: Wiley, 1980.
- [30] BIRD R B ,ARMSTRONG R C ,HASAGER R O. Dynamics of polymeric liquids[M]. New York: Wiley, 1977: 129-204, 275-303.
- [31] LEE K Y ,BOU HADIR K H ,MOONEY D J. Evaluation of chain stiffness of partially oxidized polyguluronate[J]. *Biomacromolecules*, 2002, 3(6): 1129-1134.
- [32] 许鑫华,任光雷,刘强,等.聚乙烯醇静电纺丝法固定葡萄糖氧化酶[J].天津大学学报,2006,39(7):857-860.
- [33] 王运,文利柏,郑新生,等.交联魔芋-聚乙烯醇共混体系的性能研究[J].塑料,2006,35(4):28-33.
- [34] PARTHASARATHY T A ,KERANS R J ,CHELLAPILLA S ,et al. Analysis of ceramics toughened by non-conventional fiber reinforcement[J]. *Materials Science and Engineering (A)*, 2007, 443(1/2): 120-131.
- [35] PUJARI V K ,JAWED I. The alumina fibre/tetragonal zirconia polycrystal composite system[J]. *Composites*, 1986, 17(2): 137-140.
- [36] SIAVOUCHE N N ,MUNEO H. Toughening by partial or full bridging of cracks in ceramics and fiber reinforced composites[J]. *Mechanics of Materials*, 1987, 6(3): 245-269.
- [37] TSUJI H ,MORAMATSU H. Blends of aliphatic polyesters ( ): Morphology, swelling behavior, and surface and bulk properties of blends from hydrophobic poly (*L*-lactide) and hydrophilic poly (vinyl alcohol) [J]. *Journal of Applied Polymer Science*, 2001, 81(9): 2151-2160.
- [38] NAM S Y ,CHUN H J. Prevaporation separation of water-isopropanol mixture using carboxymethylated poly (vinyl alcohol) composite membranes[J]. *Journal of applied polymer science*, 1999, 72: 241.
- [39] KITTUR A A ,KARIDURA GANARAR M Y. Prevaporation separation of water-isopropanol mixture using ZSM-5 zeolite incorporated poly (vinyl alcohol) membranes[J]. *Journal of Applied Polymer Science*, 2003, 90(9): 2441.

## Two-Step Synthesis of a High Mechanical Strength Polyacrylamide/ Poly (Vinyl Alcohol) Interpenetrating Network Hydrogel

LIN Jian-ming , TANG Qun-wei , WU Ji-huai

(Institute of Material Physical Chemistry, Huaqiao University, Quanzhou 362021, China)

**Abstract:** Polyacrylamide/poly (vinyl alcohol) interpenetrating network (PAM/PVA IPN) hydrogel was synthesized using a novel two-step aqueous polymerization method. The influences of PVA contents and crosslinker dosage on stress-strain of PAM/PVA IPN hydrogels were investigated. The tensile measurements showed that the PAM/PVA IPN hydrogel held high mechanical strength and good toughness with a highest tensile strength and elongation of 2.4 MPa and 3 000 %, respectively. The strain relaxation of the hydrogels was investigated and the toughening mechanism of separated PVA was detailedly discussed. The structures and morphologies of PAM/PVA IPN hydrogels were characterized and analyzed by FTIR, SEM and XRD.

**Keywords:** interpenetrating network hydrogel; two-step aqueous polymerization; polyacrylamide; poly (vinyl alcohol); hydrogel strength

(责任编辑:黄仲一      英文审校:陈国华)